

# Quelle information peut-on extraire du bruit de fond ?

*J. Garnier (Université Paris VII)*

# Imagerie par cross corrélation de signaux bruités

*J. Garnier (Université Paris VII)*

Collaborateurs : G. Papanicolaou (Stanford), C. Bardos (Paris 7), K. Solna (Irvine).

Problème classique en géophysique : construire la carte de la vitesse du son du sous-sol.

- Méthode usuelle : Utilisation des signaux sismiques issus de tremblements de terre.

# Imagerie par cross corrélation de signaux bruités

*J. Garnier (Université Paris VII)*

Collaborateurs : G. Papanicolaou (Stanford), C. Bardos (Paris 7), K. Solna (Irvine).

Problème classique en géophysique : construire la carte de la vitesse du son du sous-sol.

- Méthode usuelle : Utilisation des signaux sismiques issus de tremblements de terre.
- Un tremblement de terre se produit en un point  $\mathbf{x}_1$  à l'instant  $t_1$ .
- L'onde sismique est enregistrée au point  $\mathbf{x}_2$  à l'instant  $t_2$ .
- On en déduit le temps de trajet  $\tau(\mathbf{x}_1, \mathbf{x}_2) = t_2 - t_1$ .
- Comme on connaît la distance  $|\mathbf{x}_1 - \mathbf{x}_2|$ , on trouve la vitesse du son entre  $\mathbf{x}_1$  et  $\mathbf{x}_2$ .

# Imagerie par cross corrélation de signaux bruités

*J. Garnier (Université Paris VII)*

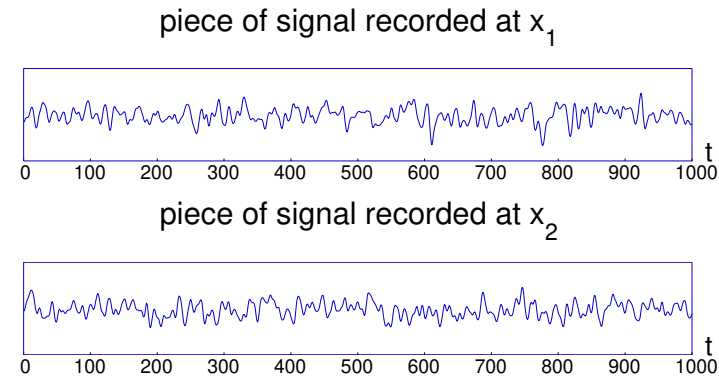
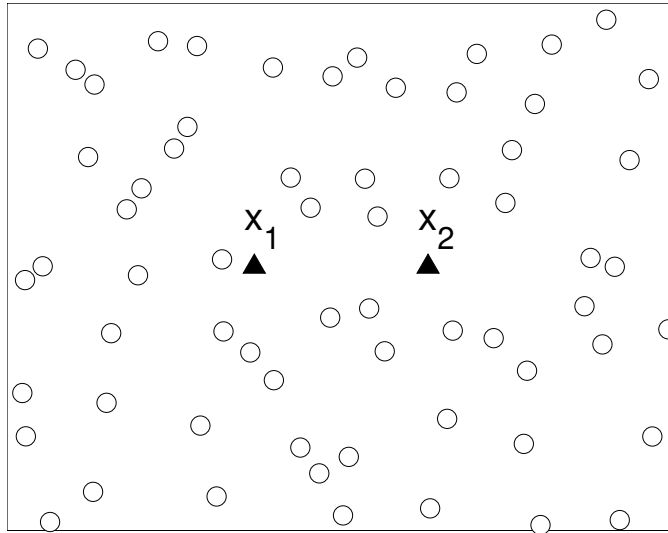
Collaborateurs : G. Papanicolaou (Stanford), C. Bardos (Paris 7), K. Solna (Irvine).

Problème classique en géophysique : construire la carte de la vitesse du son du sous-sol.

- Méthode usuelle : Utilisation des signaux sismiques issus de tremblements de terre.
- Un tremblement de terre se produit en un point  $\mathbf{x}_1$  à l'instant  $t_1$ .
- L'onde sismique est enregistrée au point  $\mathbf{x}_2$  à l'instant  $t_2$ .
- On en déduit le temps de trajet  $\tau(\mathbf{x}_1, \mathbf{x}_2) = t_2 - t_1$ .
- Comme on connaît la distance  $|\mathbf{x}_1 - \mathbf{x}_2|$ , on trouve la vitesse du son entre  $\mathbf{x}_1$  et  $\mathbf{x}_2$ .
  
- Méthode originale : Utilisation du **bruit sismique** (bruit sismique = bruit de fond qu'on enregistre quand il ne se passe rien).

# Estimation de temps de trajet par cross corrélation

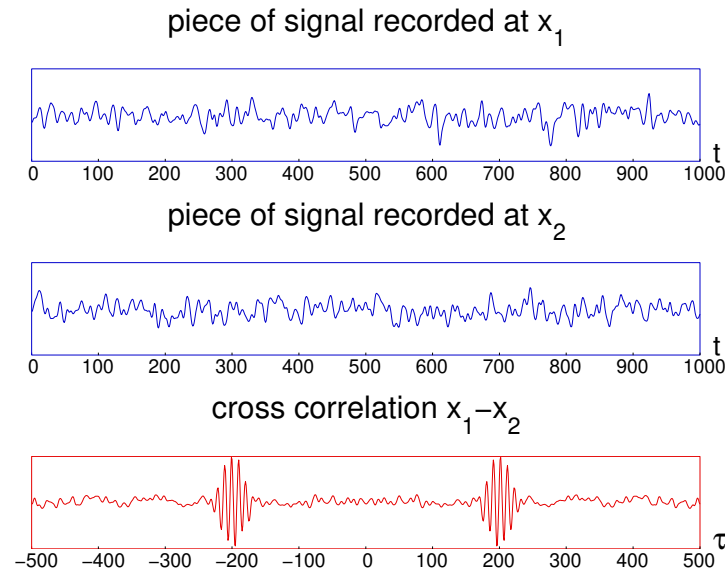
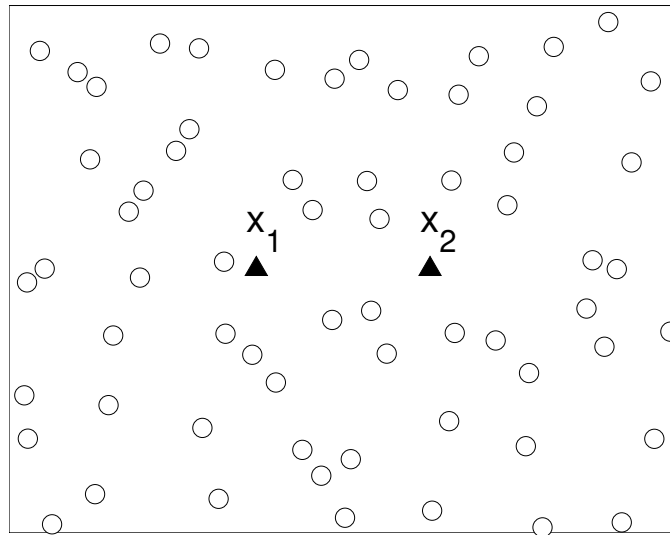
- Des sources de bruit ( $\circ$ ) émettent des signaux aléatoires stationnaires.
- Les signaux se propagent dans le milieu.
- Les signaux  $u(t, \mathbf{x}_1)$  et  $u(t, \mathbf{x}_2)$  sont enregistrés par les capteurs  $\mathbf{x}_1$  et  $\mathbf{x}_2$ .



- Quelle information (sur le milieu) peut-on extraire de ces signaux ?

# Estimation de temps de trajet par cross corrélation

- Des sources de bruit ( $\circ$ ) émettent des signaux aléatoires stationnaires.
- Les signaux se propagent dans le milieu.
- Les signaux  $u(t, \mathbf{x}_1)$  et  $u(t, \mathbf{x}_2)$  sont enregistrés par les capteurs  $\mathbf{x}_1$  et  $\mathbf{x}_2$ .

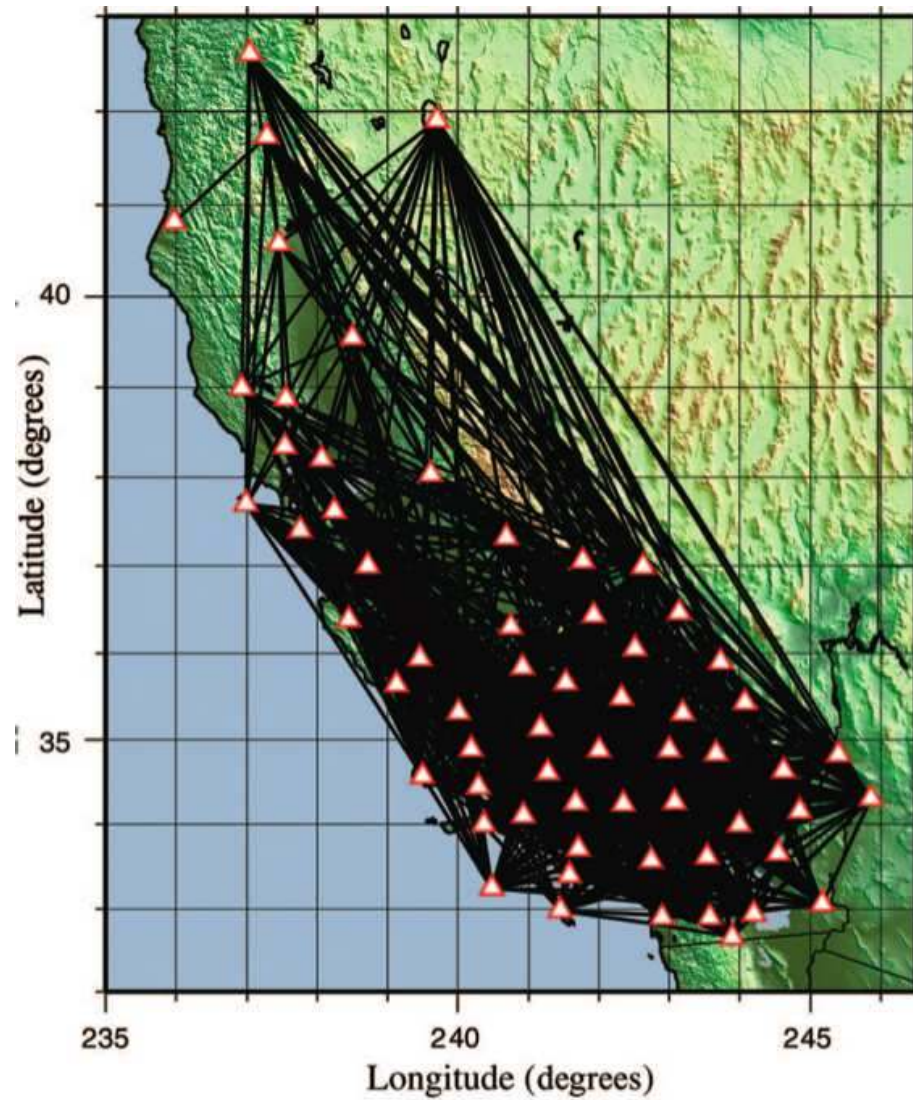


- On calcule la cross corrélation :

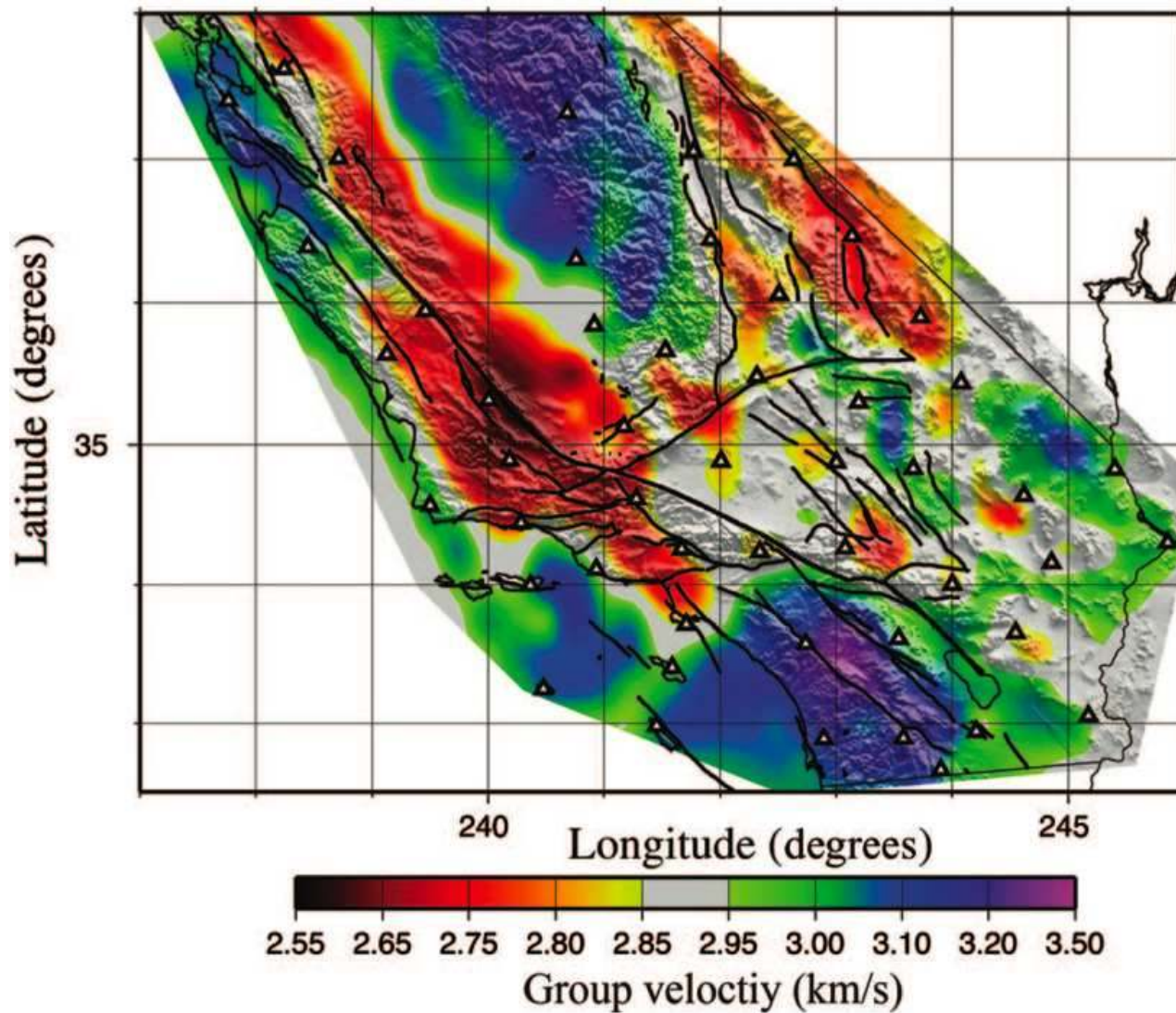
$$C(\tau, \mathbf{x}_1, \mathbf{x}_2) = \frac{1}{T} \int_0^T u(t, \mathbf{x}_1)u(t + \tau, \mathbf{x}_2)dt$$

- $C(\tau, \mathbf{x}_1, \mathbf{x}_2)$  est liée à la fonction de Green de  $\mathbf{x}_1$  à  $\mathbf{x}_2$  !
- La composante singulière de la fonction de Green de  $\mathbf{x}_1$  à  $\mathbf{x}_2$  donne le temps de trajet de  $\mathbf{x}_1$  à  $\mathbf{x}_2$ .

## Estimation de temps de trajet entre paires de capteurs



## Estimation de la vitesse du son à partir des estimations des temps de trajet



[from Shapiro et al, Science 307 (2005), 1615]



## Equation des ondes avec sources

$$\frac{1}{c^2(\mathbf{x})} \frac{\partial^2 u}{\partial t^2} - \Delta_{\mathbf{x}} u = n(t, \mathbf{x})$$

- Milieu inhomogène tri-dimensionnel (vitesse du son  $c(\mathbf{x})$ ).
- Les sources sont (i) distribuées spatialement de manière aléatoire  
(ii) des processus aléatoires stationnaires en temps.

$n(t, \mathbf{x})$ : processus gaussien, à moyenne nulle, avec la covariance

$$\langle n(t_1, \mathbf{y}_1) n(t_2, \mathbf{y}_2) \rangle = F(t_2 - t_1) \Gamma(\mathbf{y}_1, \mathbf{y}_2)$$

- Stationnaire en temps :  $(n(t, \mathbf{y}))_{t, \mathbf{y}}$  et  $(n(t + h, \mathbf{y}))_{t, \mathbf{y}}$  suivent la même loi statistique pour tout  $h \implies$  la fonction de corrélation  $F$  ne dépend que de  $t_2 - t_1$ .

- La distribution spatiale des sources est caractérisée par  $\Gamma(\mathbf{y}_1, \mathbf{y}_2)$ . Pour simplifier :

$$\Gamma(\mathbf{y}_1, \mathbf{y}_2) = \theta(\mathbf{y}_1) \delta(\mathbf{y}_1 - \mathbf{y}_2)$$

$\theta$  caractérise le support des sources.

[Pour des  $\Gamma$  plus généraux, on peut utiliser l'analyse microlocale <sup>[1]</sup>]

[1] C. Bardos, J. Garnier, and G. Papanicolaou, *Inverse Problems* **24**, 015011 (2008).

## Solution stationnaire

Solution  $u$  de l'équation des ondes :

$$u(t, \mathbf{x}) = \int \int G(s, \mathbf{x}, \mathbf{y}) n(t - s, \mathbf{y}) ds d\mathbf{y}$$

Fonction de Green :

$$\frac{1}{c^2(\mathbf{x})} \frac{\partial^2 G}{\partial t^2} - \Delta_{\mathbf{x}} G = \delta(t) \delta(\mathbf{x} - \mathbf{y})$$

partant de  $G(0, \mathbf{x}, \mathbf{y}) = \partial_t G(0, \mathbf{x}, \mathbf{y}) = 0$  ( $G(t, \mathbf{x}, \mathbf{y}) = 0$  pour  $t < 0$ ).

Fonction de Green harmonique :

$$\hat{G}(\omega, \mathbf{x}, \mathbf{y}) = \int G(t, \mathbf{x}, \mathbf{y}) e^{i\omega t} dt$$

solution de

$$\frac{\omega^2}{c^2(\mathbf{x})} \hat{G} + \Delta_{\mathbf{x}} \hat{G} = -\delta(\mathbf{x} - \mathbf{y})$$

+ condition de radiation.

Exemple : Si  $c(\mathbf{x}) \equiv c_0$ , alors

$$G(t, \mathbf{x}, \mathbf{y}) = \frac{1}{4\pi |\mathbf{x} - \mathbf{y}|} \delta\left(\frac{|\mathbf{x} - \mathbf{y}|}{c_0} - t\right)$$

## Cross corrélation empirique et cross corrélation statistique

Cross corrélation empirique :

$$C_T(\tau, \mathbf{x}_1, \mathbf{x}_2) = \frac{1}{T} \int_0^T u(t, \mathbf{x}_1)u(t + \tau, \mathbf{x}_2)dt$$

avec  $u(t, \mathbf{x}) = \int \int G(s, \mathbf{x}, \mathbf{y})n(t - s, \mathbf{y})dsd\mathbf{y}$ .

1. L'espérance de  $C_T$  (par rapport à la distribution des sources) est indépendante du temps d'intégration  $T$  :

$$\langle C_T(\tau, \mathbf{x}_1, \mathbf{x}_2) \rangle = C^{(1)}(\tau, \mathbf{x}_1, \mathbf{x}_2)$$

où la **cross corrélation statistique**  $C^{(1)}$  est donnée par

$$C^{(1)}(\tau, \mathbf{x}_1, \mathbf{x}_2) = \int d\mathbf{y} \int d\omega \overline{\hat{G}}(\omega, \mathbf{x}_1, \mathbf{y}) \hat{G}(\omega, \mathbf{x}_2, \mathbf{y}) \theta(\mathbf{y}) \hat{F}(\omega) e^{-i\omega\tau}$$

# Cross corrélation empirique et cross corrélation statistique

Cross corrélation empirique :

$$C_T(\tau, \mathbf{x}_1, \mathbf{x}_2) = \frac{1}{T} \int_0^T u(t, \mathbf{x}_1) u(t + \tau, \mathbf{x}_2) dt$$

avec  $u(t, \mathbf{x}) = \int \int G(s, \mathbf{x}, \mathbf{y}) n(t - s, \mathbf{y}) ds d\mathbf{y}$ .

1. L'espérance de  $C_T$  (par rapport à la distribution des sources) est indépendante du temps d'intégration  $T$  :

$$\langle C_T(\tau, \mathbf{x}_1, \mathbf{x}_2) \rangle = C^{(1)}(\tau, \mathbf{x}_1, \mathbf{x}_2)$$

où la **cross corrélation statistique**  $C^{(1)}$  est donnée par

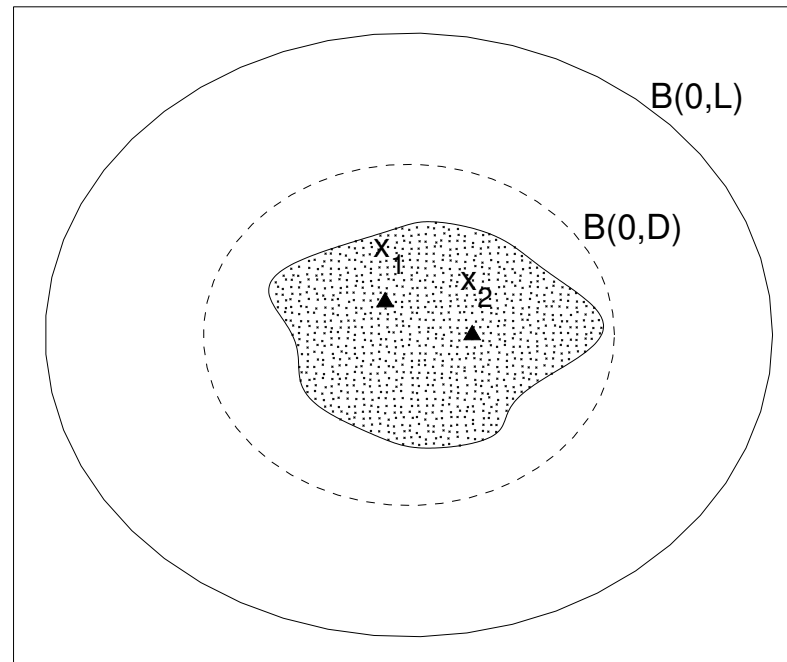
$$C^{(1)}(\tau, \mathbf{x}_1, \mathbf{x}_2) = \int d\mathbf{y} \int d\omega \overline{\hat{G}}(\omega, \mathbf{x}_1, \mathbf{y}) \hat{G}(\omega, \mathbf{x}_2, \mathbf{y}) \theta(\mathbf{y}) \hat{F}(\omega) e^{-i\omega\tau}$$

2. La cross corrélation empirique  $C_T$  est une quantité **auto-moyennante** :

$$C_T(\tau, \mathbf{x}_1, \mathbf{x}_2) \xrightarrow{T \rightarrow \infty} C^{(1)}(\tau, \mathbf{x}_1, \mathbf{x}_2)$$

en probabilité. Plus précisément, les fluctuations de  $C_T$  autour de sa moyenne  $C^{(1)}$  sont d'ordre  $T^{-1/2}$ .

## Un outil utile : le théorème de Helmholtz Kirchhoff



Si le milieu est homogène (vitesse  $c_e$ ) hors de  $B(\mathbf{0}, D)$ , alors  $\forall \mathbf{x}_1, \mathbf{x}_2 \in B(\mathbf{0}, D)$  on a pour  $L \gg D$ :

$$\hat{G}(\omega, \mathbf{x}_1, \mathbf{x}_2) - \overline{\hat{G}}(\omega, \mathbf{x}_1, \mathbf{x}_2) = \frac{2i\omega}{c_e} \int_{\partial B(\mathbf{0}, L)} dS(\mathbf{y}) \overline{\hat{G}}(\omega, \mathbf{x}_1, \mathbf{y}) \hat{G}(\omega, \mathbf{x}_2, \mathbf{y})$$

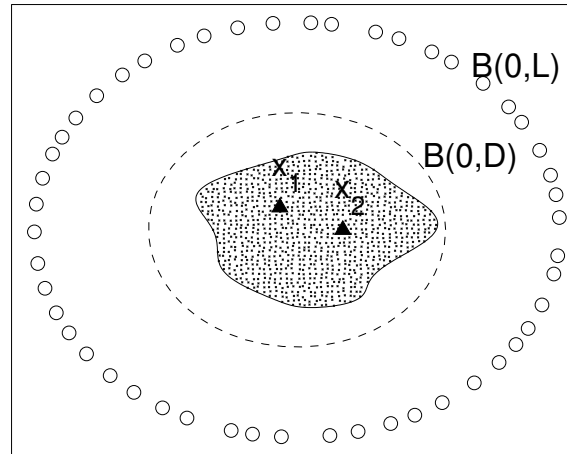
Preuve : seconde identité de Green et condition de radiation de Sommerfeld.

Utile pour : théorie du scattering, expériences de retournement temporel, et cross corrélation.

# Cross corrélation avec des sources de bruit sur une surface fermée

Cross corrélation statistique :

$$C^{(1)}(\tau, \mathbf{x}_1, \mathbf{x}_2) = \int d\omega \int_{\partial B(\mathbf{0}, L)} dS(\mathbf{y}) \overline{\hat{G}}(\omega, \mathbf{x}_1, \mathbf{y}) \hat{G}(\omega, \mathbf{x}_2, \mathbf{y}) \hat{F}(\omega) e^{-i\omega\tau}$$



Théorème de Helmholtz Kirchhoff :

$$\hat{G}(\omega, \mathbf{x}_1, \mathbf{x}_2) - \overline{\hat{G}}(\omega, \mathbf{x}_1, \mathbf{x}_2) = \frac{2i\omega}{c_e} \int_{\partial B(\mathbf{0}, L)} dS(\mathbf{y}) \overline{\hat{G}}(\omega, \mathbf{x}_1, \mathbf{y}) \hat{G}(\omega, \mathbf{x}_2, \mathbf{y})$$

Si 1) le milieu est homogène en dehors de  $B(\mathbf{0}, D)$ ,

2) les sources sont distribuées sur la sphère  $\partial B(\mathbf{0}, L)$ , avec  $L \gg D$ .

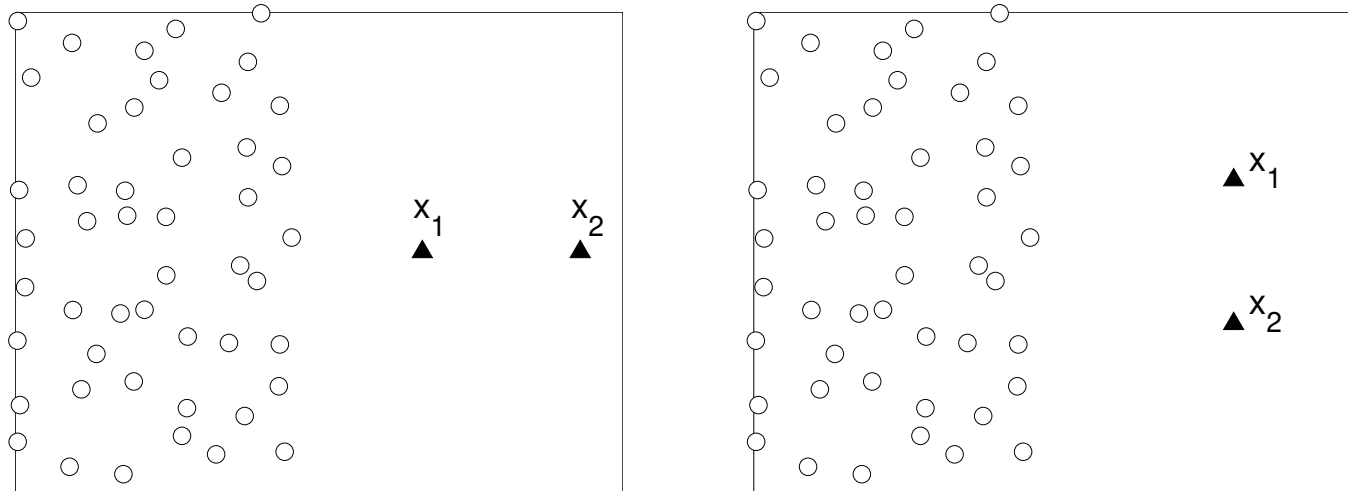
Alors pour tout  $\mathbf{x}_1, \mathbf{x}_2 \in B(\mathbf{0}, D)$ , on a (à un facteur multiplicatif près) :

$$\frac{\partial}{\partial \tau} C^{(1)}(\tau, \mathbf{x}_1, \mathbf{x}_2) = F *_{\tau} G(\tau, \mathbf{x}_1, \mathbf{x}_2) - F *_{\tau} G(-\tau, \mathbf{x}_1, \mathbf{x}_2)$$

En (geo)physique <sup>[1]</sup>: S'il y a assez de "diversité directionnelle" ou d'"équipartition", alors

$$\frac{\partial}{\partial \tau} C^{(1)}(\tau, \mathbf{x}_1, \mathbf{x}_2) \simeq F *_{\tau} G(\tau, \mathbf{x}_1, \mathbf{x}_2) - F *_{\tau} G(-\tau, \mathbf{x}_1, \mathbf{x}_2)$$

Que se passe-t-il lorsque



?

## Hypothèse de géométrie simple dans un milieu régulier

- On suppose que le rapport  $\varepsilon$  du temps de cohérence des sources sur le temps de trajet typique entre deux capteurs est petit.

↪ La fonction de corrélation temporelle des sources est de la forme :

$$F^\varepsilon(t_2 - t_1) = F\left(\frac{t_2 - t_1}{\varepsilon}\right)$$

- On utilise l'approximation WKB (optique géométrique) :

$$\hat{G}\left(\frac{\omega}{\varepsilon}, \mathbf{x}, \mathbf{y}\right) \sim a(\mathbf{x}, \mathbf{y}) e^{i\frac{\omega}{\varepsilon}\tau(\mathbf{x}, \mathbf{y})}$$

valide lorsque  $\varepsilon \ll 1$ , où le temps de trajet est :

$$\tau(\mathbf{x}, \mathbf{y}) = \inf \left\{ T \text{ t.q. } \exists (\mathbf{X}_t)_{t \in [0, T]} \in \mathcal{C}^1([0, T], \mathbb{R}^d), \mathbf{X}_0 = \mathbf{x}, \mathbf{X}_T = \mathbf{y}, \left| \frac{d\mathbf{X}_t}{dt} \right| = c(\mathbf{X}_t) \right\}$$

Hypothèse de géométrie simple :  $c(\mathbf{x})$  est régulier et toute paire de points est reliée par un unique rayon (dans la région qui nous intéresse).



## Analyse par phase stationnaire ( $\varepsilon \rightarrow 0$ )

Fonction de corrélation temporelle des sources  $F^\varepsilon(t) = F(\frac{t}{\varepsilon}) \implies \hat{F}^\varepsilon(\omega) = \varepsilon \hat{F}(\varepsilon\omega)$ .

$$\begin{aligned} C^{(1)}(\tau, \mathbf{x}_1, \mathbf{x}_2) &= \frac{1}{2\pi} \int d\mathbf{y} \int d\omega \theta(\mathbf{y}) \overline{\hat{G}}(\omega, \mathbf{x}_1, \mathbf{y}) \hat{G}(\omega, \mathbf{x}_2, \mathbf{y}) e^{-i\omega\tau} \hat{F}^\varepsilon(\omega) \\ &= \frac{1}{2\pi} \int d\mathbf{y} \int d\omega \theta(\mathbf{y}) \overline{\hat{G}}\left(\frac{\omega}{\varepsilon}, \mathbf{x}_1, \mathbf{y}\right) \hat{G}\left(\frac{\omega}{\varepsilon}, \mathbf{x}_2, \mathbf{y}\right) e^{-i\frac{\omega}{\varepsilon}\tau} \hat{F}(\omega) \end{aligned}$$

Approximation WKB pour  $\hat{G}$  :

$$C^{(1)}(\tau, \mathbf{x}_1, \mathbf{x}_2) = \frac{1}{2\pi} \int d\mathbf{y} \int d\omega \theta(\mathbf{y}) \hat{F}(\omega) \bar{a}(\mathbf{x}_1, \mathbf{y}) a(\mathbf{x}_2, \mathbf{y}) e^{i\frac{\omega}{\varepsilon} \mathcal{T}(\mathbf{y})}$$

avec la phase rapide

$$\omega \mathcal{T}(\mathbf{y}) = \omega [\tau(\mathbf{x}_1, \mathbf{y}) - \tau(\mathbf{x}_2, \mathbf{y}) - \tau]$$

Utilisation du théorème de la phase stationnaire. La contribution principale vient des points stationnaires  $(\mathbf{y}, \omega)$  satisfaisant :

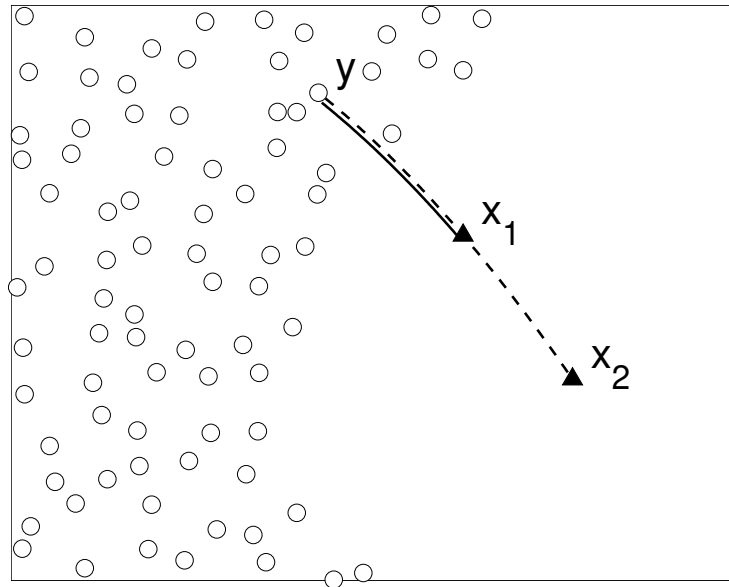
$$\nabla_{\mathbf{y}} \left( \omega \mathcal{T}(\mathbf{y}) \right) = \mathbf{0}, \quad \partial_{\omega} \left( \omega \mathcal{T}(\mathbf{y}) \right) = 0$$

$\hookrightarrow$  deux conditions :

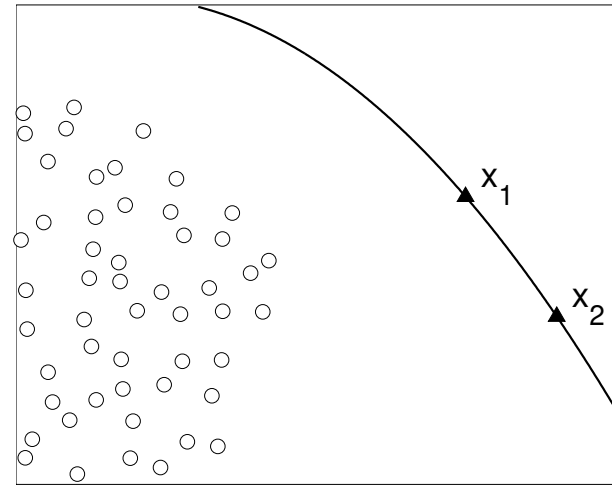
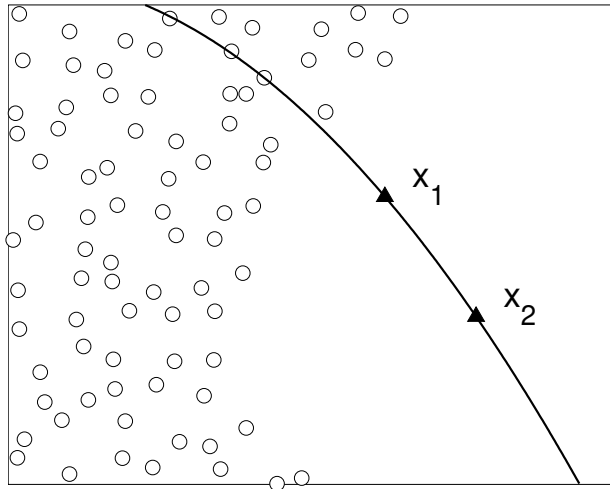
$$\nabla_{\mathbf{y}} \tau(\mathbf{y}, \mathbf{x}_1) = \nabla_{\mathbf{y}} \tau(\mathbf{y}, \mathbf{x}_2), \quad \tau(\mathbf{x}_1, \mathbf{y}) - \tau(\mathbf{x}_2, \mathbf{y}) = \tau$$

$$\nabla_{\mathbf{y}}\tau(\mathbf{y}, \mathbf{x}_1) = \nabla_{\mathbf{y}}\tau(\mathbf{y}, \mathbf{x}_2), \quad \tau(\mathbf{x}_1, \mathbf{y}) - \tau(\mathbf{x}_2, \mathbf{y}) = \tau$$

$\implies \mathbf{y}, \mathbf{x}_1, \mathbf{x}_2$  sur le même rayon et  $\tau = \pm\tau(\mathbf{x}_1, \mathbf{x}_2)$ .



Aussi :  $\mathbf{y}$  doit être dans le support de  $\theta$  (région des sources)



Composante singulière en  $\tau(\mathbf{x}_1, \mathbf{x}_2)$

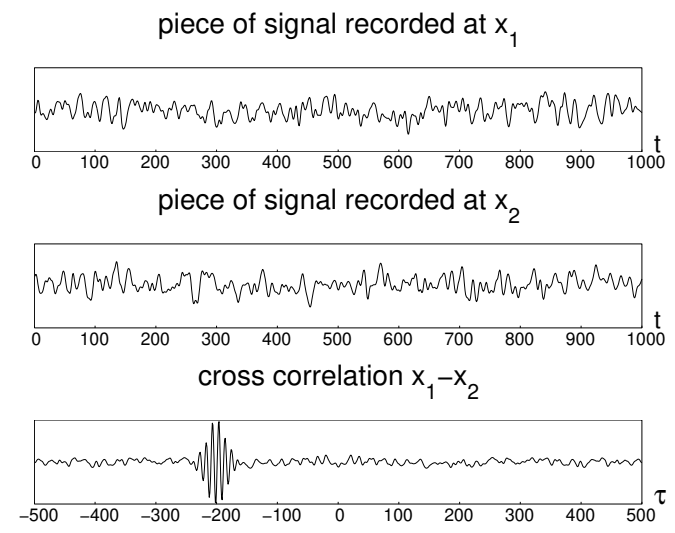
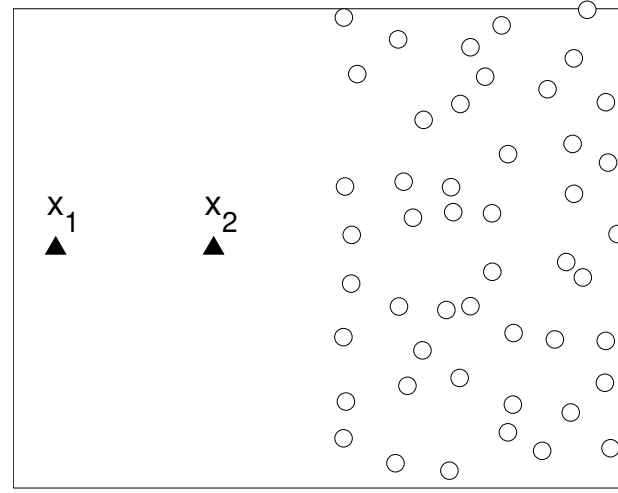
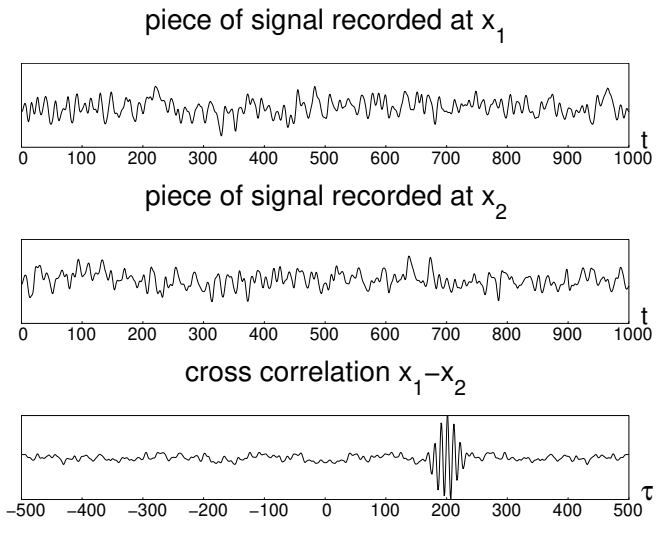
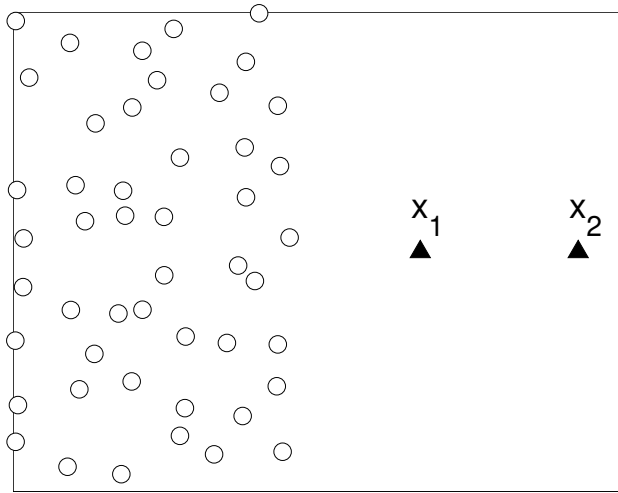
Pas de composante singulière

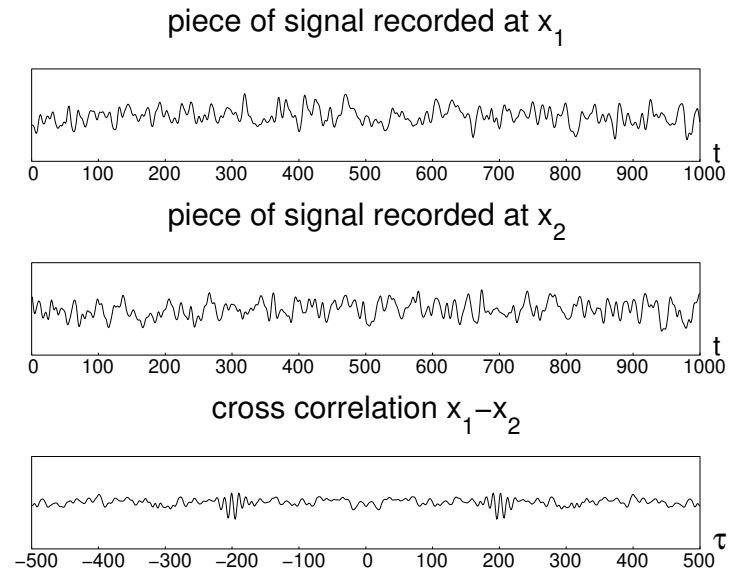
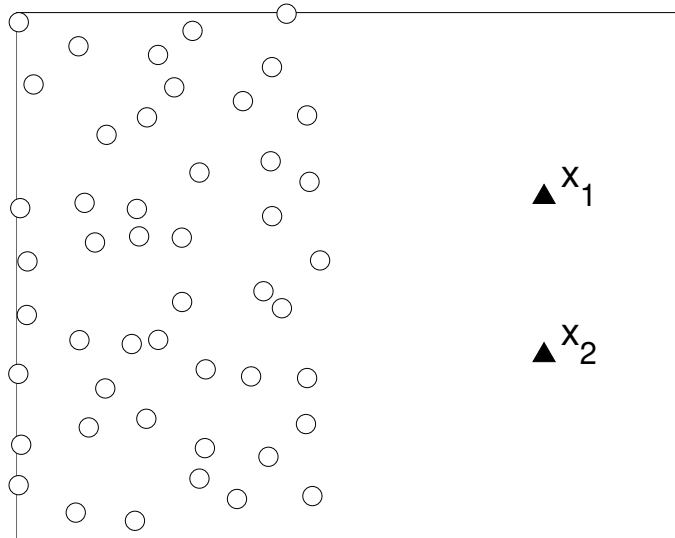
Conclusion : La cross corrélation  $C^{(1)}(\tau, \mathbf{x}_1, \mathbf{x}_2)$  possède des composantes singulières **ssi le rayon passant par  $\mathbf{x}_1$  et  $\mathbf{x}_2$  atteint la zone des sources** (i.e. le support de la fonction  $\theta$ ). Il y a alors une ou deux composantes singulières en  $\tau = \pm\tau(\mathbf{x}_1, \mathbf{x}_2)$ .

[Plus exactement :

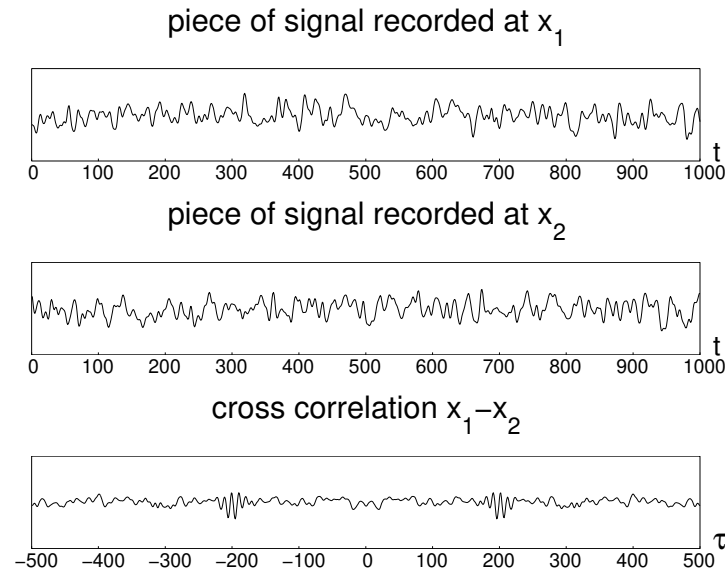
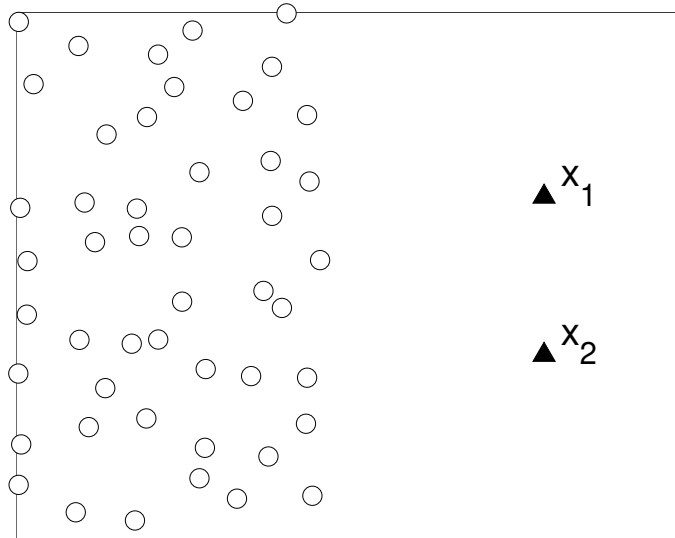
les rayons  $\mathbf{y} \rightarrow \mathbf{x}_1 \rightarrow \mathbf{x}_2$  donne une composante en  $\tau = \tau(\mathbf{x}_1, \mathbf{x}_2)$ ,

les rayons  $\mathbf{y} \rightarrow \mathbf{x}_2 \rightarrow \mathbf{x}_1$  donne une composante en  $\tau = -\tau(\mathbf{x}_1, \mathbf{x}_2)$ .]





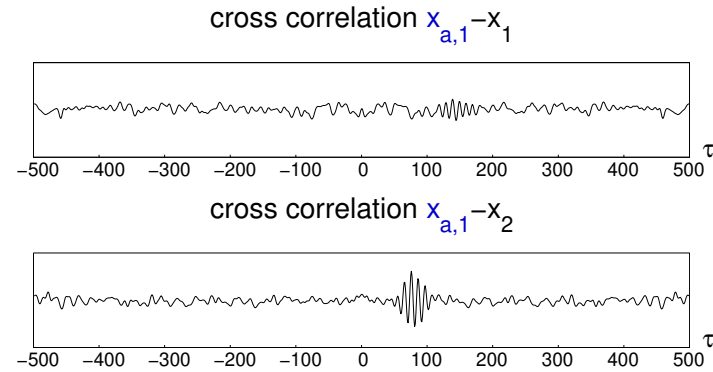
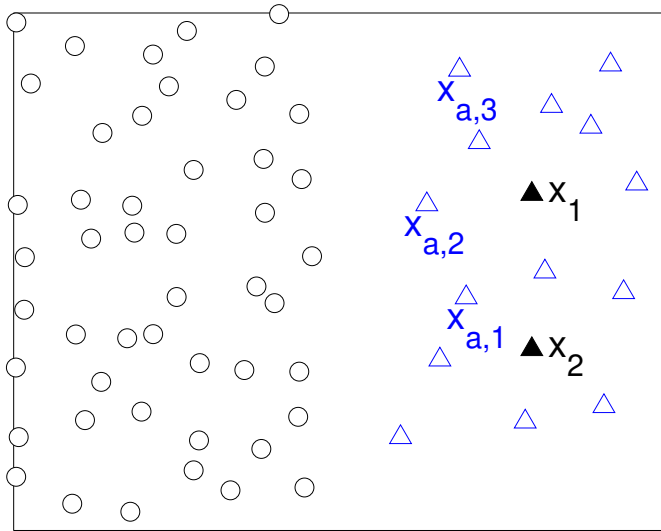
- Ici, la méthode de cross corrélation ne permet pas d'estimer le temps de trajet, par manque de "diversité directionnelle".



- Ici, la méthode de cross corrélation ne permet pas d'estimer le temps de trajet, par manque de "diversité directionnelle".
- Idée : exploiter les **propriétés de diffusion** du milieu inhomogène.
  - Les ondes diffusées ont **plus de diversité directionnelle** que les ondes qui viennent directement des sources.
  - Les contributions **incohérentes** des ondes diffusées sont dans les **queues** des cross corrélations.
  - En **cross corrélant les queues des cross corrélations**, il doit être possible d'exploiter les ondes diffusées et leur diversité directionnelle accrue (idée de M. Campillo <sup>[1]</sup>).

[1] M. Campillo and L. Stehly, *Eos Trans. AGU* **88**(52) (2007), Fall Meet. Suppl., Abstract S51D-07.

# Cross corrélations d'ordre quatre

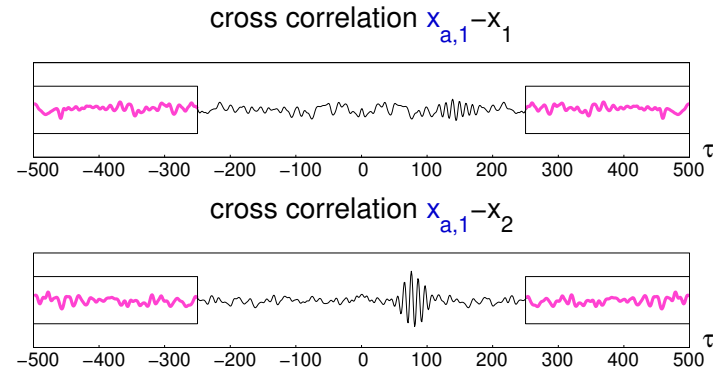
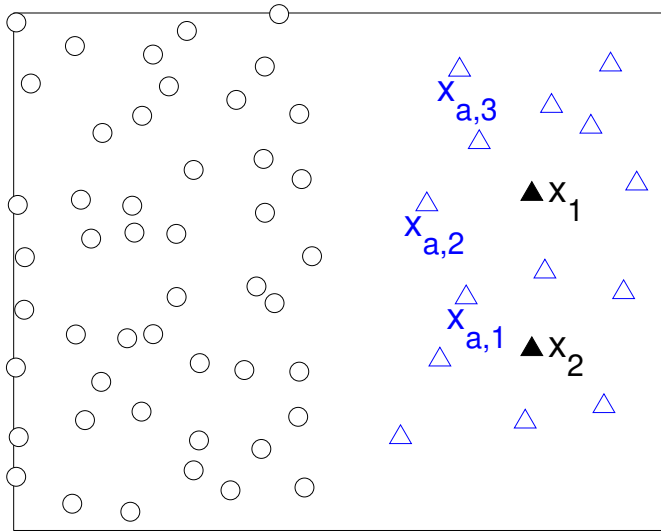


Utilisation de **capteurs auxiliaires**  $\mathbf{x}_{a,j}$ ,  $j = 1, \dots, N$ . Algorithme :

1) pour chaque  $j$ , calcul des cross corrélations  $C(\tau, \mathbf{x}_{a,j}, \mathbf{x}_1)$  et  $C(\tau, \mathbf{x}_{a,j}, \mathbf{x}_2)$  :

$$C(\tau, \mathbf{x}_{a,j}, \mathbf{x}_l) = \frac{1}{T} \int_0^T u(t, \mathbf{x}_{a,j})u(t + \tau, \mathbf{x}_l)dt, \quad l = 1, 2$$

# Cross corrélations d'ordre quatre



Utilisation de **capteurs auxiliaires**  $\mathbf{x}_{a,j}$ ,  $j = 1, \dots, N$ . Algorithme :

1) pour chaque  $j$ , calcul des cross corrélations  $C(\tau, \mathbf{x}_{a,j}, \mathbf{x}_1)$  et  $C(\tau, \mathbf{x}_{a,j}, \mathbf{x}_2)$  :

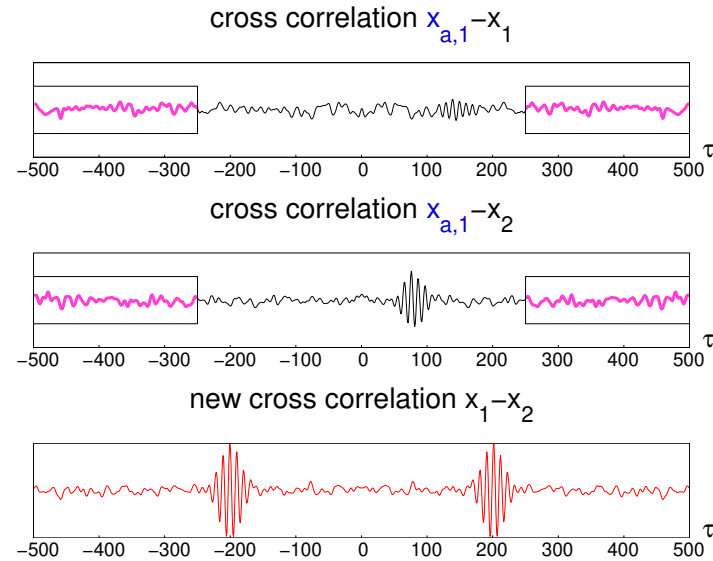
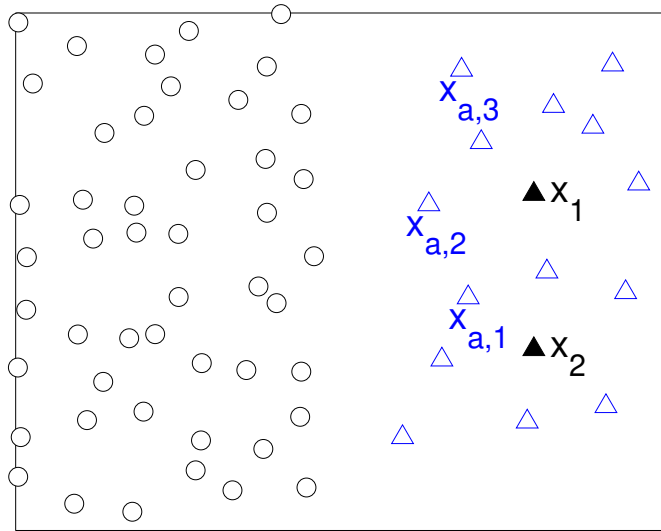
$$C(\tau, \mathbf{x}_{a,j}, \mathbf{x}_l) = \frac{1}{T} \int_0^T u(t, \mathbf{x}_{a,j})u(t + \tau, \mathbf{x}_l)dt, \quad l = 1, 2$$

2) extraction des queues de  $C(\tau, \mathbf{x}_{a,j}, \mathbf{x}_1)$  and  $C(\tau, \mathbf{x}_{a,j}, \mathbf{x}_2)$ :

$$C_{\text{coda}}(\tau, \mathbf{x}_{a,j}, \mathbf{x}_l) = C(\tau, \mathbf{x}_{a,j}, \mathbf{x}_l) [\mathbf{1}_{(-\infty, -T_{\text{coda}})}(\tau) + \mathbf{1}_{(T_{\text{coda}}, \infty)}(\tau)], \quad l = 1, 2$$



# Cross corrélations d'ordre quatre



Utilisation de **capteurs auxiliaires**  $\mathbf{x}_{a,j}$ ,  $j = 1, \dots, N$ . Algorithme :

1) pour chaque  $j$ , calcul des cross corrélations  $C(\tau, \mathbf{x}_{a,j}, \mathbf{x}_1)$  et  $C(\tau, \mathbf{x}_{a,j}, \mathbf{x}_2)$  :

$$C(\tau, \mathbf{x}_{a,j}, \mathbf{x}_l) = \frac{1}{T} \int_0^T u(t, \mathbf{x}_{a,j})u(t + \tau, \mathbf{x}_l)dt, \quad l = 1, 2$$

2) extraction des queues de  $C(\tau, \mathbf{x}_{a,j}, \mathbf{x}_1)$  and  $C(\tau, \mathbf{x}_{a,j}, \mathbf{x}_2)$  :

$$C_{\text{coda}}(\tau, \mathbf{x}_{a,j}, \mathbf{x}_l) = C(\tau, \mathbf{x}_{a,j}, \mathbf{x}_l) [\mathbf{1}_{(-\infty, -T_{\text{coda}})}(\tau) + \mathbf{1}_{(T_{\text{coda}}, \infty)}(\tau)], \quad l = 1, 2$$

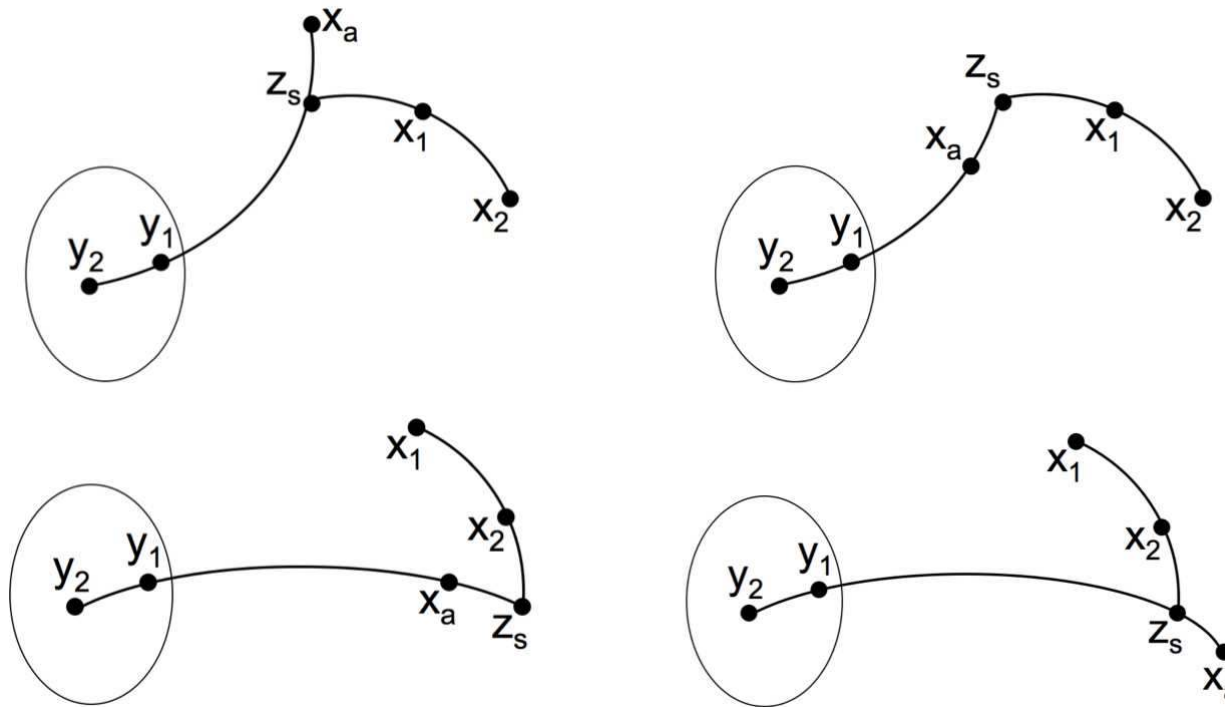
3) calcul des cross corrélations des queues et somme sur  $j$  :

$$C^{(3)}(\tau, \mathbf{x}_1, \mathbf{x}_2) = \sum_{j=1}^N \int_{-T'}^{T'} C_{\text{coda}}(\tau', \mathbf{x}_{a,j}, \mathbf{x}_1) C_{\text{coda}}(\tau' + \tau, \mathbf{x}_{a,j}, \mathbf{x}_2) d\tau'$$

## Analyse de la fonction de corrélation $C^{(3)}$

- Propriété d'auto-moyennisation de  $C^{(3)}$
- Approximation de Born pour le milieu aléatoire
- Approximation WKB pour la fonction de Green du milieu
- ↪ expression de  $C^{(3)}$  comme une intégrale multiple, avec une phase rapide paramétrée par une fréquence  $\omega$ , un capteur auxiliaire  $\mathbf{x}_a$ , deux sources  $\mathbf{y}_1, \mathbf{y}_2$ , un diffuseur  $\mathbf{z}_s$ , et aussi par les capteurs principaux  $\mathbf{x}_1, \mathbf{x}_2$ .
- Analyse par phase stationnaire : cinq conditions pour les points stationnaires.

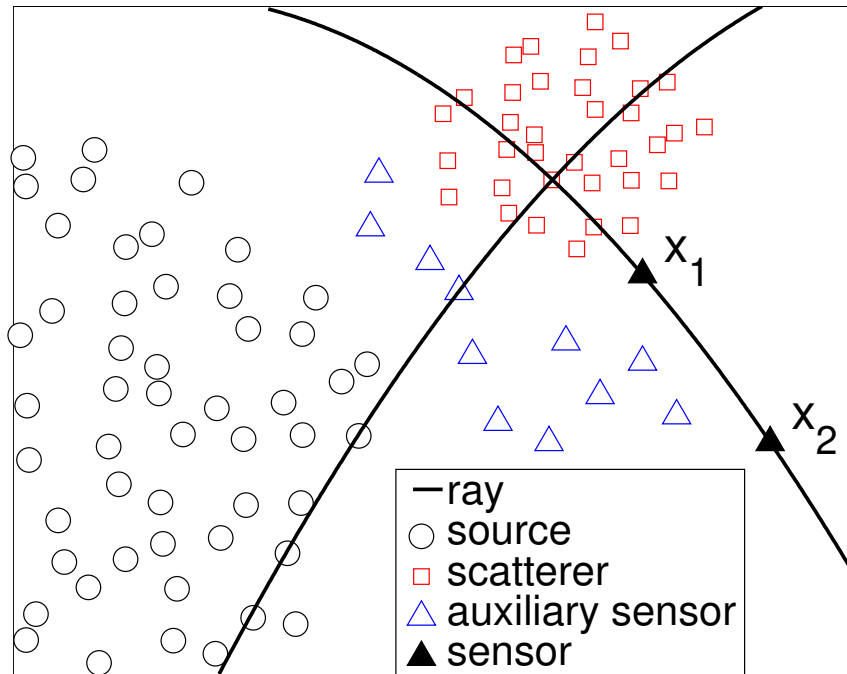
↪ Il y a des points stationnaires :



Conclusion :  $C^{(3)}$  a des composantes singulières aux instants  $\tau = \pm\tau(\mathbf{x}_1, \mathbf{x}_2)$  si :

- 1) il y a des diffuseurs le long du rayon passant par  $\mathbf{x}_1$  et  $\mathbf{x}_2$  (mais pas entre  $\mathbf{x}_1$  et  $\mathbf{x}_2$ ).
- 2) il y a des capteurs auxiliaires le long de rayons allant des sources aux diffuseurs.

Il n'y a pas besoin qu'un rayon issu des sources passe par  $\mathbf{x}_1$  et  $\mathbf{x}_2$  !



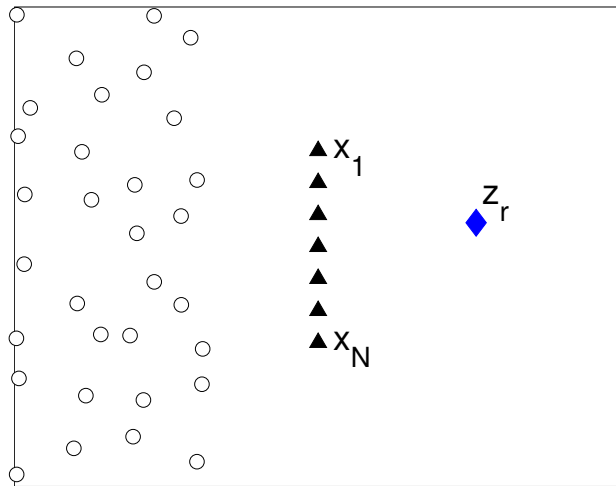
Ici :

On **ne peut pas** extraire le temps de trajet  $\tau(\mathbf{x}_1, \mathbf{x}_2)$  à partir de  $C$ .

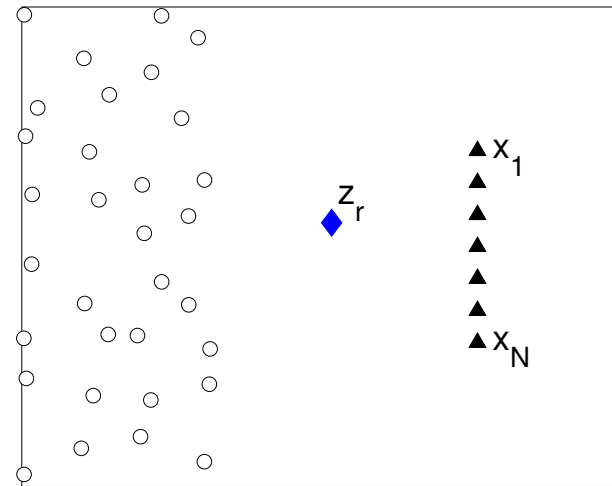
On **peut** extraire le temps de trajet  $\tau(\mathbf{x}_1, \mathbf{x}_2)$  à partir de  $C^{(3)}$ .

# Imagerie passive par cross corrélation de signaux bruités

- Réseau de capteurs passifs  $\mathbf{x}_j, j = 1, \dots, N$
- Sources de bruit émettant des signaux aléatoires stationnaires
- Objet cible (petit réflecteur) en  $\mathbf{z}_r$
- Deux différentes configurations d'éclairage



Configuration "jour"

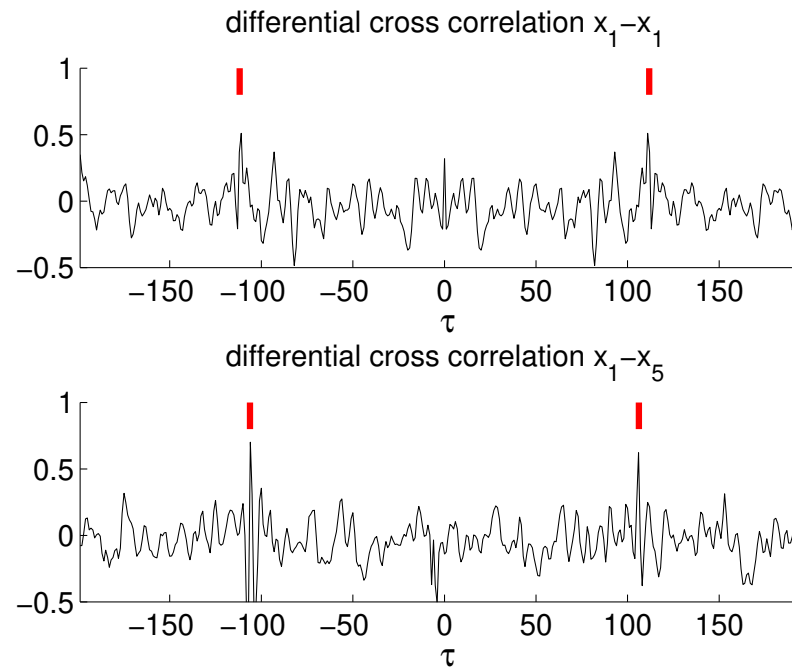
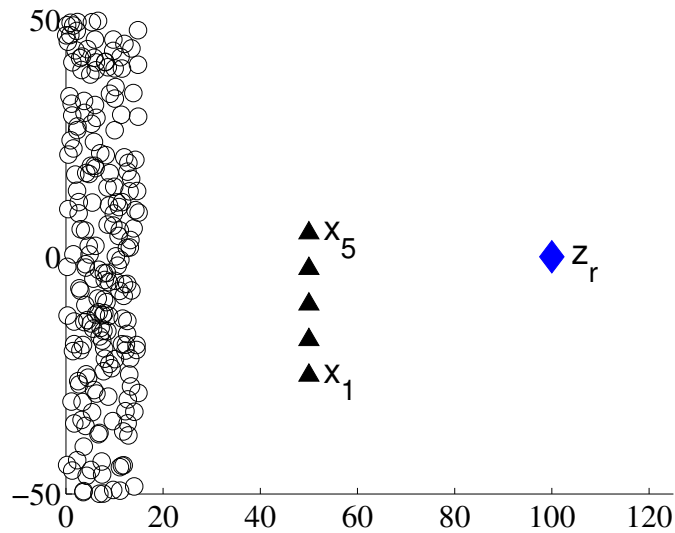


Configuration "contre-jour"

- Deux types de situations :
- Données en présence ( $C$ ) et en absence ( $C_0$ ) du réflecteur
- Données uniquement en présence du réflecteur
- On suppose qu'on connaît les temps de trajets entre les capteurs et les points dans la région autour de  $\mathbf{z}_r$ .

## Configuration "jour"

- Données en absence ( $C_0(\tau, \mathbf{x}_j, \mathbf{x}_l)$ ,  $j, l = 1, \dots, 5$ ) et en présence ( $C(\tau, \mathbf{x}_j, \mathbf{x}_l)$ ,  $j, l = 1, \dots, 5$ ) du réflecteur



Cross corrélation différentielle :

$$\Delta C(\tau, \mathbf{x}_j, \mathbf{x}_l) = (C - C_0)(\tau, \mathbf{x}_j, \mathbf{x}_l)$$

*Théorie* :  $\Delta C(\tau, \mathbf{x}_j, \mathbf{x}_l)$  a des composantes singulières en  $\tau = \pm[\tau(\mathbf{x}_j, \mathbf{z}_r) + \tau(\mathbf{x}_l, \mathbf{z}_r)]$ .

## Configuration "jour" - migration

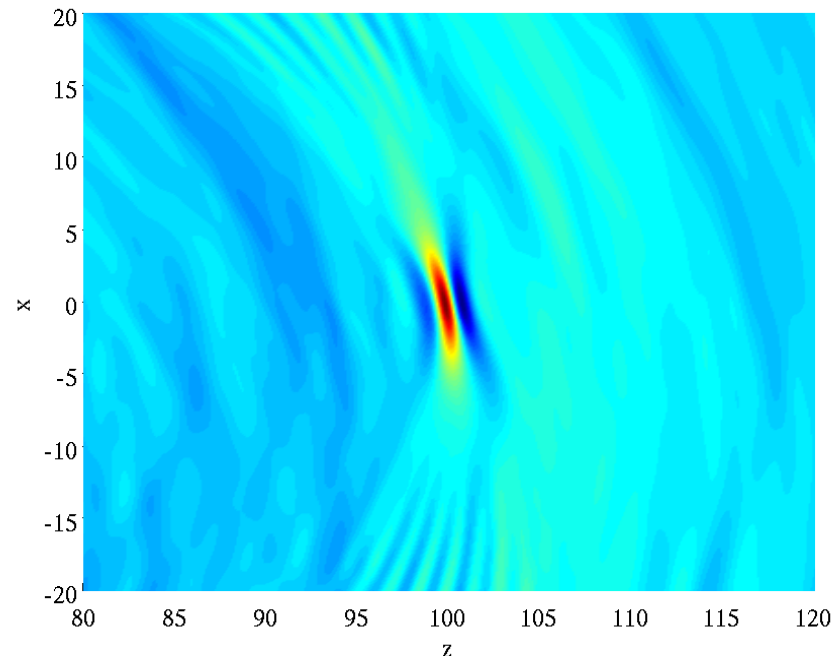
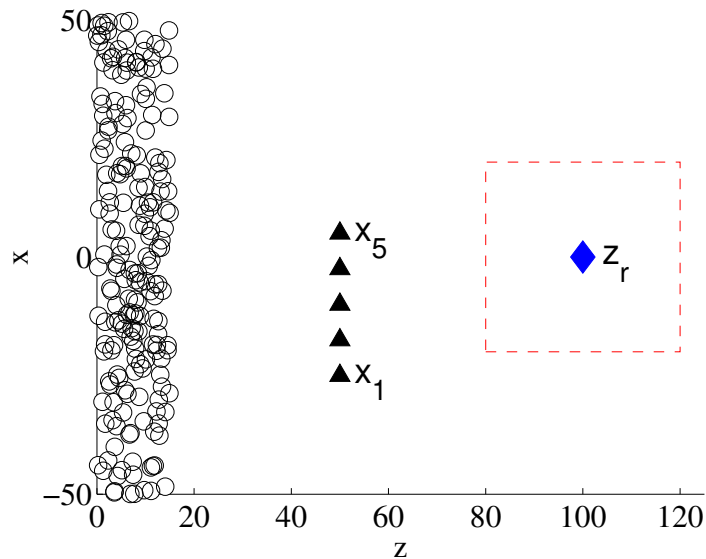
$$\Delta C(\tau, \mathbf{x}_j, \mathbf{x}_l) = (C - C_0)(\tau, \mathbf{x}_j, \mathbf{x}_l)$$

*Théorie* :  $\Delta C$  a des composantes singulières en  $\tau = \pm[\tau(\mathbf{x}_j, \mathbf{z}_r) + \tau(\mathbf{x}_l, \mathbf{z}_r)]$ .

- Migration des cross corrélations différentielles  $\Delta C$ .

Fonction de migration pour un point test  $\mathbf{z}^S$  :

$$\mathcal{I}^D(\mathbf{z}^S) = \sum_{j,l=1}^N \Delta C(-\tau(\mathbf{x}_j, \mathbf{z}^S) - \tau(\mathbf{x}_l, \mathbf{z}^S), \mathbf{x}_j, \mathbf{x}_l) + \Delta C(\tau(\mathbf{x}_j, \mathbf{z}^S) + \tau(\mathbf{x}_l, \mathbf{z}^S), \mathbf{x}_j, \mathbf{x}_l)$$



## Configuration "jour" - analyse de résolution

Fonction de migration :

$$\mathcal{I}^D(\mathbf{z}^S) = \sum_{j,l=1}^N \Delta C(-\tau(\mathbf{z}^S, \mathbf{x}_j) - \tau(\mathbf{z}^S, \mathbf{x}_l), \mathbf{x}_j, \mathbf{x}_l) + \Delta C(\tau(\mathbf{z}^S, \mathbf{x}_j) + \tau(\mathbf{z}^S, \mathbf{x}_l), \mathbf{x}_j, \mathbf{x}_l)$$

Analogie avec la **migration de Kirchhoff** <sup>[1]</sup> pour l'imagerie utilisant un réseau de capteurs **actifs**  $(\mathbf{x}_j)_{j=1,\dots,N}$  émettant des impulsions brèves. Les données sont alors la **matrice de réponse impulsionnelle**  $(P(t, \mathbf{x}_j, \mathbf{x}_l))_{j,l=1,\dots,N}$  et la fonction de Migration de Kirchhoff est

$$\mathcal{I}^{\text{KM}}(\mathbf{z}^S) = \sum_{j,l=1}^N P(\tau(\mathbf{z}^S, \mathbf{x}_j) + \tau(\mathbf{z}^S, \mathbf{x}_l), \mathbf{x}_j, \mathbf{x}_l)$$

↪ L'imagerie passive utilisant le bruit ambiant a la même résolution que l'imagerie active utilisant des sources d'impulsions brèves !

→ Résolution longitudinale  $\simeq c_0/B$ , où  $B$  est la largeur spectrale.

→ Résolution transverse (pour un réseau linéaire)  $\simeq \lambda_0 L/a$ , où  $\lambda_0$  est la fréquence porteuse,  $L$  est la distance du réseau au réflecteur,  $a$  est le diamètre du réseau.

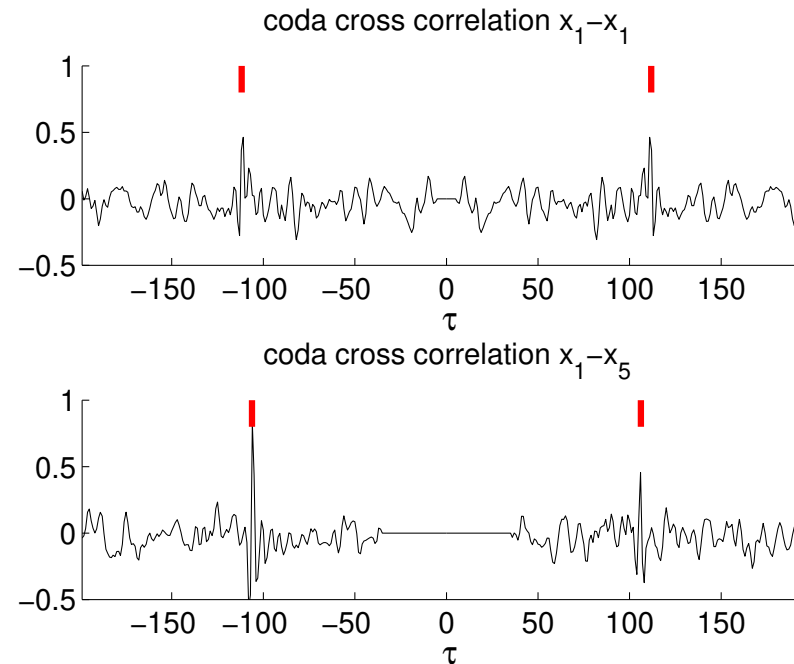
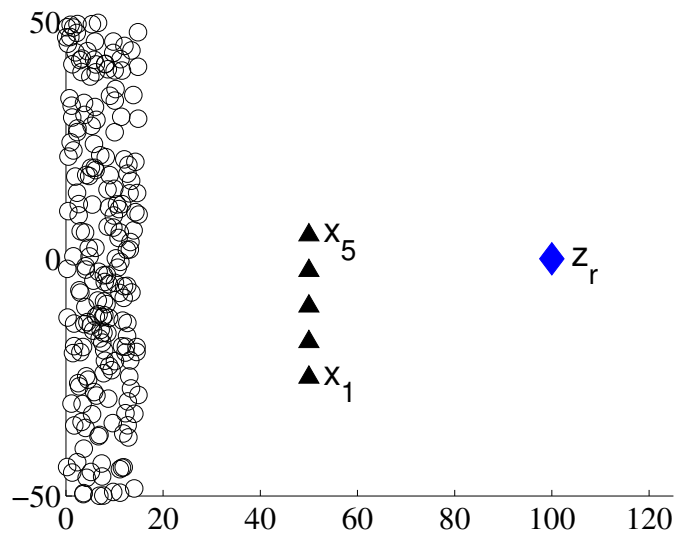
→ Résolution transverse (pour un réseau distribué)  $\simeq c_0/B$  (triangulation).

[1] N. Bleistein, J. K. Cohen, and J. W. Stockwell Jr, Mathematics of seismic imaging, Springer, 2001.



## Configuration "jour"

- Données *seulement* en présence du réflecteur :  $C(\tau, \mathbf{x}_j, \mathbf{x}_l)$ ,  $j, l = 1, \dots, 5$ .



Coda cross corrélation :

$$C_{\text{coda}}(\tau, \mathbf{x}_j, \mathbf{x}_l) = C(\tau, \mathbf{x}_j, \mathbf{x}_l) [\mathbf{1}_{(-\infty, -\tau(\mathbf{x}_j, \mathbf{x}_l))}(\tau) + \mathbf{1}_{(\tau(\mathbf{x}_j, \mathbf{x}_l), \infty)}(\tau)]$$

## Configuration "jour" - migration

$$C_{\text{coda}}(\tau, \mathbf{x}_j, \mathbf{x}_l) = C(\tau, \mathbf{x}_j, \mathbf{x}_l) [\mathbf{1}_{(-\infty, -\tau(\mathbf{x}_j, \mathbf{x}_l))}(\tau) + \mathbf{1}_{(\tau(\mathbf{x}_j, \mathbf{x}_l), \infty)}(\tau)]$$

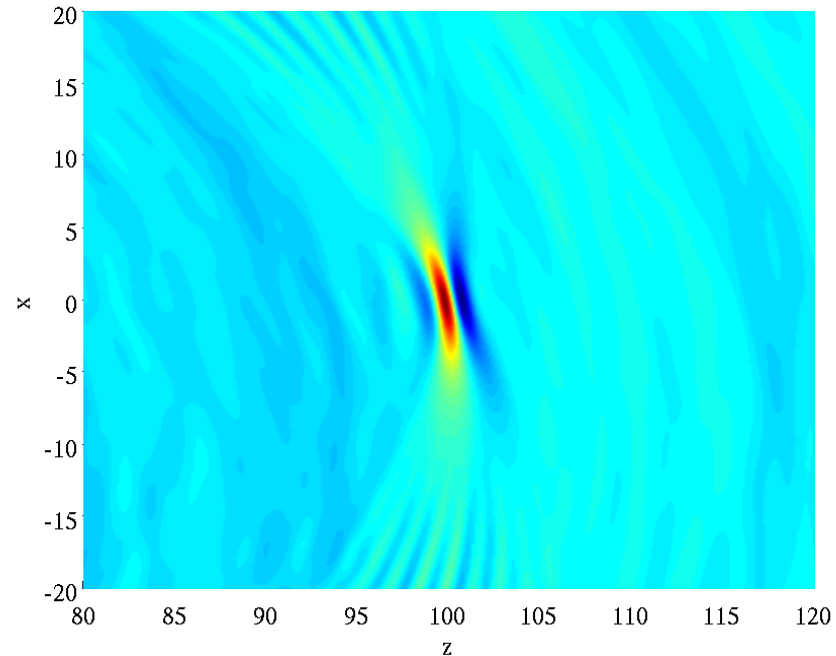
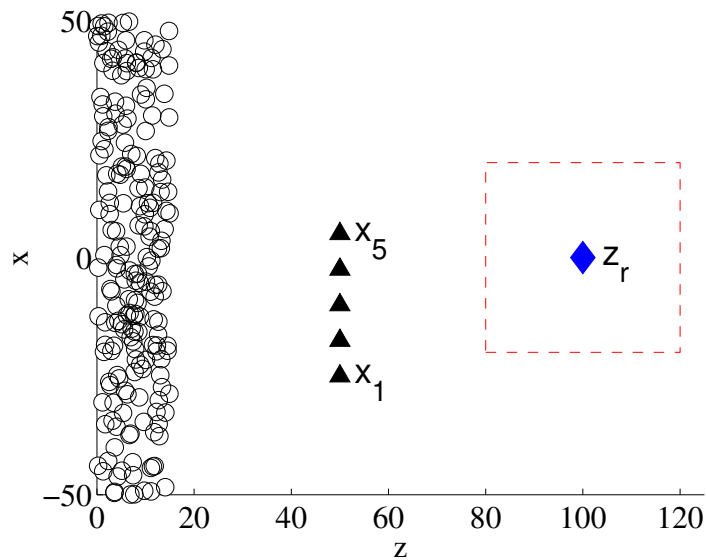
*Théorie* :  $C_{\text{coda}}(\tau, \mathbf{x}_j, \mathbf{x}_l)$  a des composantes singulières en  $\tau = \pm[\tau(\mathbf{x}_j, \mathbf{z}_r) + \tau(\mathbf{x}_l, \mathbf{z}_r)]$

*Inégalité triangulaire* :  $|\tau(\mathbf{x}_j, \mathbf{z}_r) + \tau(\mathbf{x}_l, \mathbf{z}_r)| \geq \tau(\mathbf{x}_j, \mathbf{x}_l) \implies$  composantes dans  $C_{\text{coda}}$

- Migration des coda cross corrélations  $C_{\text{coda}}$ .

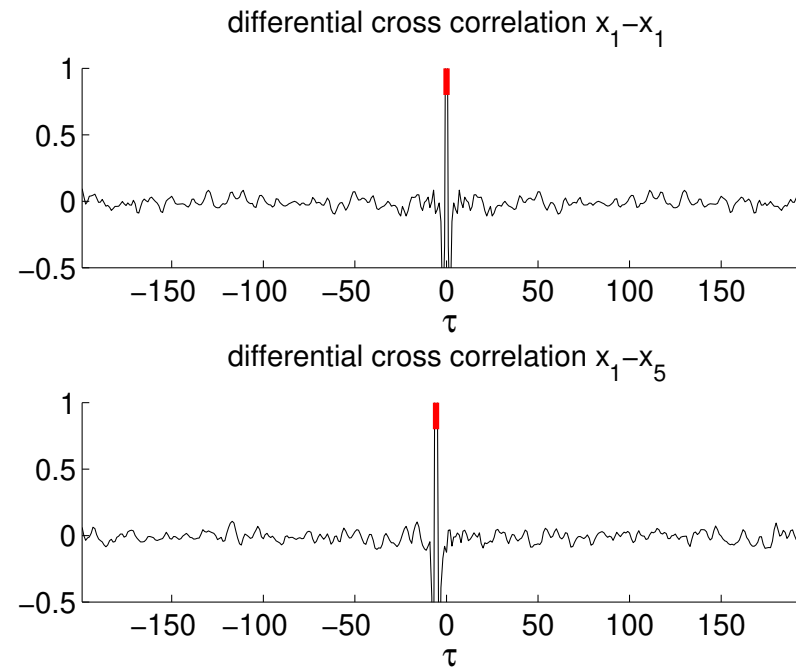
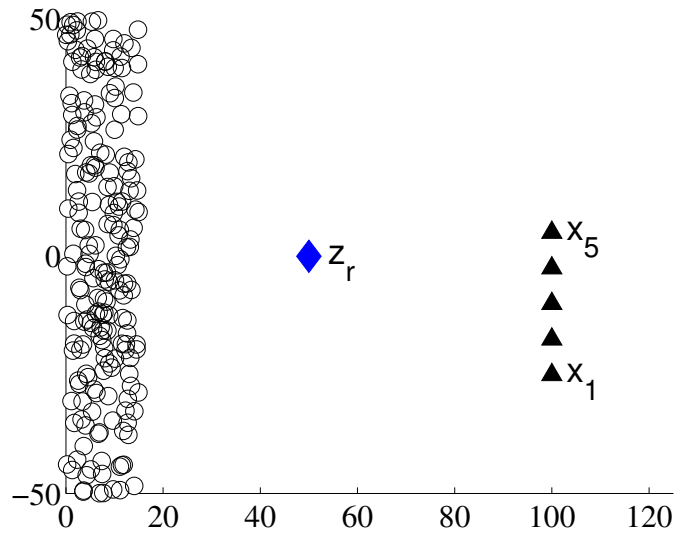
Fonction de migration pour un point test  $\mathbf{z}^S$  :

$$\mathcal{I}^D(\mathbf{z}^S) = \sum_{j,l=1}^N C_{\text{coda}}(-\tau(\mathbf{x}_j, \mathbf{z}^S) - \tau(\mathbf{x}_l, \mathbf{z}^S), \mathbf{x}_j, \mathbf{x}_l) + C_{\text{coda}}(\tau(\mathbf{x}_j, \mathbf{z}^S) + \tau(\mathbf{x}_l, \mathbf{z}^S), \mathbf{x}_j, \mathbf{x}_l)$$



## Configuration "contre-jour"

- Données en absence ( $C_0$ ) et en présence ( $C$ ) du réflecteur



Cross corrélation différentielle

$$\Delta C(\tau, \mathbf{x}_j, \mathbf{x}_l) = (C - C_0)(\tau, \mathbf{x}_j, \mathbf{x}_l)$$

*Théorie :  $\Delta C$  a une composante singulière en  $\tau = \tau(\mathbf{x}_l, \mathbf{z}_r) - \tau(\mathbf{x}_j, \mathbf{z}_r)$ .*

## Configuration "contre-jour" - migration

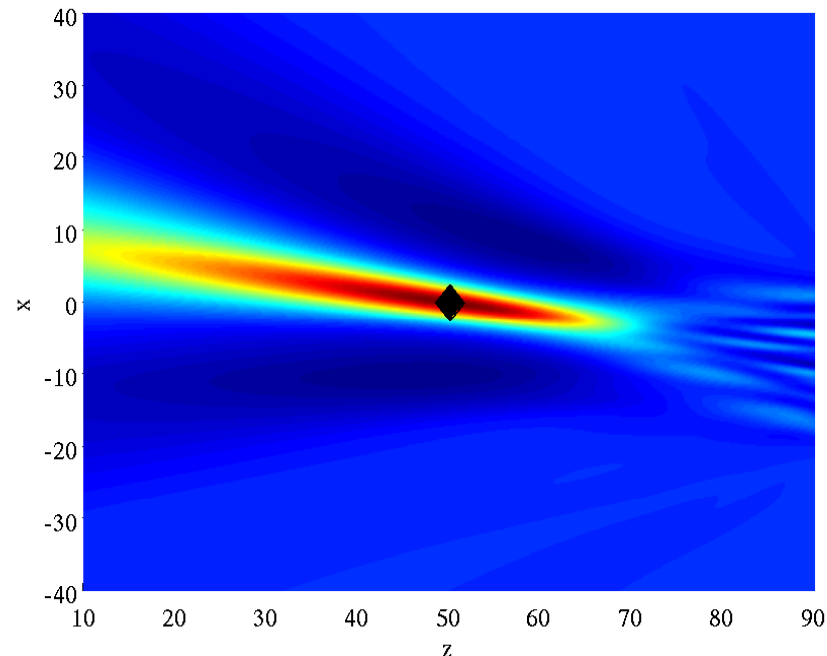
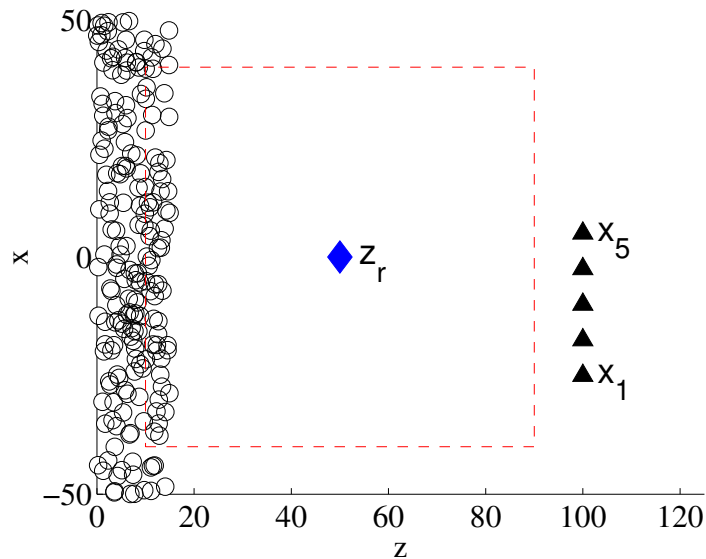
$$\Delta C(\tau, \mathbf{x}_j, \mathbf{x}_l) = (C - C_0)(\tau, \mathbf{x}_j, \mathbf{x}_l)$$

*Théorie* :  $\Delta C$  a une composante singulière en  $\tau = \tau(\mathbf{x}_l, \mathbf{z}_r) - \tau(\mathbf{x}_j, \mathbf{z}_r)$ .

- Migration des cross corrélations différentielles  $\Delta C$ .

Fonction de migration pour un point test  $\mathbf{z}^S$  :

$$\mathcal{I}^B(\mathbf{z}^S) = \sum_{j,l=1}^N \Delta C(\tau(\mathbf{x}_l, \mathbf{z}^S) - \tau(\mathbf{x}_j, \mathbf{z}^S), \mathbf{x}_j, \mathbf{x}_l)$$



## Configuration "contre-jour" - analyse de résolution

Fonction de migration :

$$\begin{aligned}\mathcal{I}^B(\mathbf{z}^S) &= \sum_{j,l=1}^N \Delta C(\tau(\mathbf{x}_l, \mathbf{z}^S) - \tau(\mathbf{x}_j, \mathbf{z}^S), \mathbf{x}_j, \mathbf{x}_l) \\ &= \frac{1}{2\pi} \int d\omega \sum_{j,l=1}^N e^{-i\omega[\tau(\mathbf{z}^S, \mathbf{x}_l) - \tau(\mathbf{z}^S, \mathbf{x}_j)]} \widehat{\Delta C}(\tau(\mathbf{x}_l, \mathbf{z}^S) - \tau(\mathbf{x}_j, \mathbf{z}^S), \mathbf{x}_j, \mathbf{x}_l)\end{aligned}$$

Analogie avec l'**Interférométrie Incohérente** <sup>[1]</sup>, utilisée lorsque  $\mathbf{z}_r$  est une **source** émettant une impulsion brève enregistrée par un réseau de capteurs  $(\mathbf{x}_j)_{j=1,\dots,N}$ . Les données sont le vecteur  $(P(t, \mathbf{x}_j))_{j=1,\dots,N}$ . La fonction de migration est :

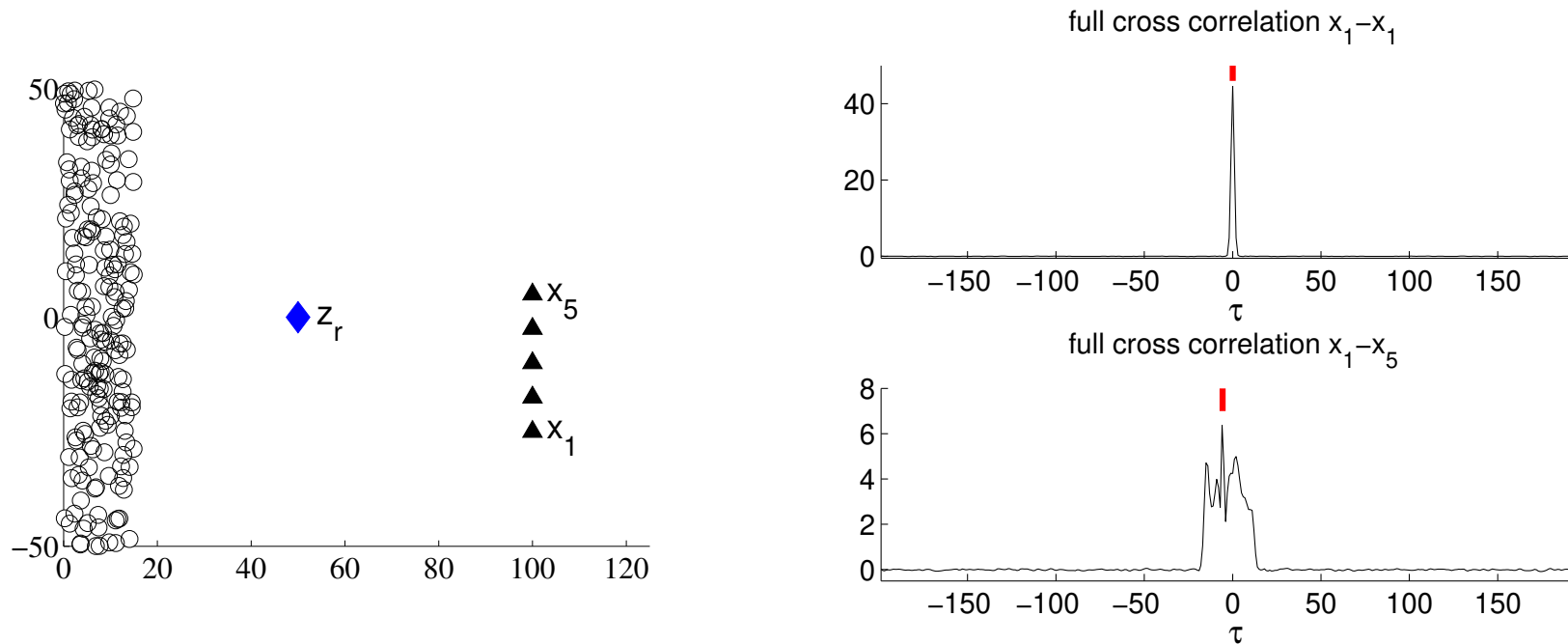
$$\begin{aligned}\mathcal{I}^{II}(\mathbf{z}^S) &= \frac{1}{2\pi} \int d\omega \left| \sum_{l=1}^N e^{-i\omega\tau(\mathbf{z}^S, \mathbf{x}_l)} \hat{P}(\omega, \mathbf{x}_l) \right|^2 \\ &= \frac{1}{2\pi} \int d\omega \sum_{j,l=1}^N e^{-i\omega[\tau(\mathbf{z}^S, \mathbf{x}_l) - \tau(\mathbf{z}^S, \mathbf{x}_j)]} \hat{P}(\omega, \mathbf{x}_l) \overline{\hat{P}(\omega, \mathbf{x}_j)}\end{aligned}$$

→ La méthode d'imagerie passive en configuration contre-jour a une **faible résolution longitudinale**, comme l'Interférométrie Incohérente.

[1] L. Borcea, G. Papanicolaou, and C. Tsogka, *Inverse Problems* **19**, S134 (2003).

## Configuration "contre-jour"

- Données seulement en présence ( $C$ ) du réflecteur



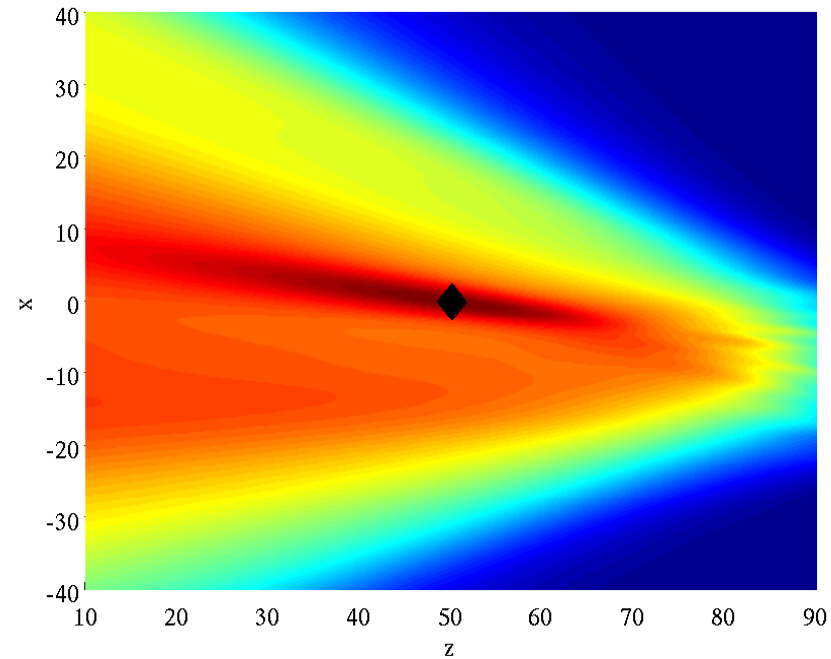
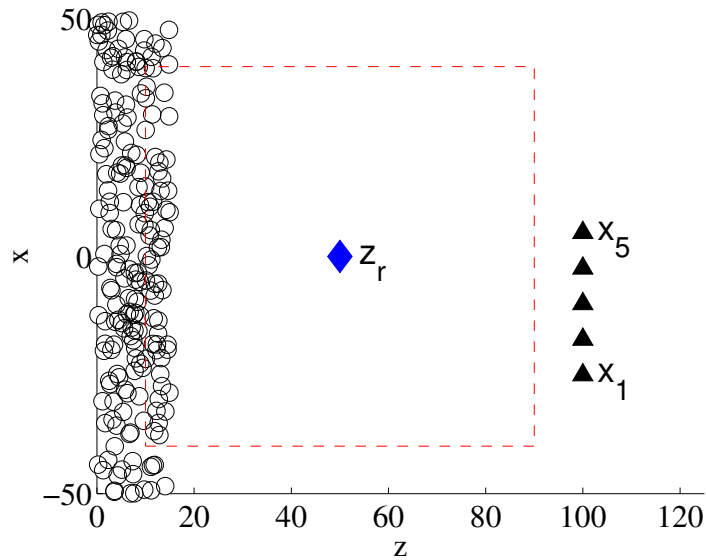
*Théorie :  $C(\tau, \mathbf{x}_j, \mathbf{x}_l)$  a des composantes singulières en  $\tau = \tau(\mathbf{x}_l, \mathbf{z}_r) - \tau(\mathbf{x}_j, \mathbf{z}_r)$ .*

*Inégalité triangulaire  $|\tau(\mathbf{x}_l, \mathbf{z}_r) - \tau(\mathbf{x}_j, \mathbf{z}_r)| \leq \tau(\mathbf{x}_j, \mathbf{x}_l) \implies$  la composante singulière est noyée dans les composantes des ondes directes.*

$\hookrightarrow$  la technique de coda cross corrélation est inapplicable.

## Configuration "contre-jour" - migration

- Migration des cross corrélations complètes



Fonction de migration pour un point test  $\mathbf{z}^S$  :

$$\mathcal{I}^B(\mathbf{z}^S) = \sum_{j,l=1}^N C(\tau(\mathbf{x}_l, \mathbf{z}^S) - \tau(\mathbf{x}_j, \mathbf{z}^S), \mathbf{x}_j, \mathbf{x}_l)$$

# Conclusions

- Estimation de temps de trajet :
- L'estimation de temps de trajet à partir du **bruit ambiant** est possible.
- Il est possible d'exploiter les **propriétés de diffusion** du milieu pour améliorer cette estimation (en utilisant des cross corrélations d'ordre quatre spéciales).
- C'est un exemple où la présence de bruit est un avantage et peut être exploitée.
- D'autres régimes de propagation peuvent être analysés : approximation parabolique, transfert radiatif, milieu aléatoire stratifié.
  
- Imagerie de réflecteurs :
- Migration des cross corrélations des signaux bruités permet d'imager le milieu.
- Il est possible d'exploiter les propriétés de diffusion du milieu et de migrer des cross corrélations d'ordre quatre spéciales pour améliorer la résolution.
  
- Principales applications en géophysique (à des échelles globales, régionales, et locales : volcans <sup>[1]</sup>, réservoirs pétroliers); aussi en imagerie micro-ondes.

[1] F. Brenguier, N. M. Shapiro, M. Campillo, et al, *Nature Geoscience* **1**, 126 (2008).